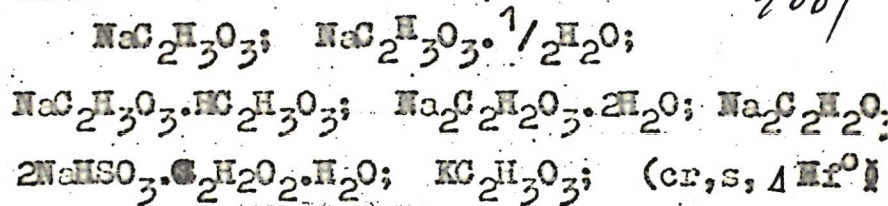


NA-C-S



2042

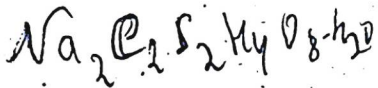
1884



de Forcrand

Ann.chim.phys. 3, 187, 1884

W, M



X-5299

1946

~~45~~  
HCF<sub>2</sub>CF<sub>2</sub>SO<sub>3</sub>Na (Tm)

HCF<sub>2</sub>CO<sub>2</sub>H (Tb); HCF<sub>2</sub>CF<sub>2</sub>SO<sub>3</sub>H.H<sub>2</sub>O  
(T<sub>b</sub>, T<sub>m</sub>)

Barrick P.L.

U.S. ", 403,207, July 2, 1946

Tetrafluoroethanesulfonic...

B<sup>e</sup>

NaCSF<sub>4</sub>HO<sub>3</sub>

1955

732

NaHSO<sub>2</sub>.HCHO.2H<sub>2</sub>O ( kris.str. )

Truter M.R.

J. Chem. Soc., 1955, Sept., 3064-3072  
An accurate determination ...

Me.

No - C-S-F

1957

Granstad T., Haszeldine R.N.

J.Chem.Soc., 1956, Jan.,  
173-180 ( )

Perfluoroalkyl derivatives of

\*\*\*

V 2731

~~1575~~

1957

$\text{CF}_3\text{SO}_2\text{F}$  (  $T_b$ ,  $P$ ,  $\Delta H_v$  )

cm. Maj 86.

Tm( $\text{CF}_3\text{SO}_2\text{ONa}$ ,  $\text{CF}_3\text{SO}_3\text{K}$ ,  $\text{CH}_3\text{SO}_3\text{K}$ ,  $\text{CH}_3\text{SO}_3\text{Na}$ ,

( $\text{CF}_3\text{SO}_2\text{O}$ )<sub>2</sub>Ba, ( $\text{CH}_3\text{SO}_3$ )<sub>2</sub>Ba,  $\text{CF}_3\text{SO}_3\text{Ag}$ ,

$\text{CH}_3\text{SO}_3\text{Ag}$ )

Tb( $\text{CF}_3\text{SO}_2\text{OC}_2\text{H}_5$ ,  $\text{CF}_3\text{SO}_2\text{OCH}_3$ ,  $\text{CF}_3\text{SO}_2\text{N}(\text{C}_2\text{H}_5)_2$ ,

$\text{CF}_3\text{SO}_2\text{NH}_2$  (  $T_m$  )

PK., 1957, 11799

$\text{NaC}_2\text{H}_3\text{O}_3$

6

V 2730

1959

2346

1959. 10. 11.

$(\text{CF}_3\text{SO}_3)_2\text{Ba}$  (Tm),  $\text{CF}_3\text{SO}_3^-\text{Ag}^+$  (Tb),

$\text{CF}_3\text{SO}_3\text{H}$  (Tb),  $(\text{CF}_3\text{SO}_3)_2\text{O}$  (Tb),

$(\text{CF}_3)_2\text{S}$  (Tb),  $\text{CF}_3\text{SO}_3\text{Al}$  (Tm),  $\text{CF}_3\text{SO}_3\text{Na}$  (Tm),

$\text{CF}_3\text{SO}_3\text{Ag}$  (Tm),  $\text{CF}_3\text{SO}_3\text{Li}$  (Tb)

Granstad K.,

Tidskr. kem. bergvesenog.  
metallurgi, 1959, 12, 1, 2, 30-33

Be

NaC<sub>5</sub>F<sub>3</sub>O

Perfluoroalkanesulphonic acid

X-5890

1960

NaOCOCF<sub>3</sub>, SO<sub>2</sub>ONa (9m),  
FSO<sub>2</sub>CF<sub>3</sub>COOH (9t).

Диптифил М. А., Коновалов Г. А.,  
Курилович И. А.  
Изд. АН СССР, стр. 2221. Н. 1960,  
нр. 1035-1038  
Бе

LB92 X-901 / 1960

$\text{Na}_2\text{CS}_3(\text{T}_{\text{tr}})$

Maurin M., Silber P.,

C. R. Acad. sci., 1960, 251,  
N°1, 2362-2364.

B99-X-155

1961

$\text{Na}_2\text{CS}_3 \cdot n\text{H}_2\text{O}$  (sH, T<sub>tr</sub>)

Maurin M.

Ann. chimie, 1961, 6, XII-12, 1221-1278

Б  
лес ср.к.

~~9640~~

X-6371

1964

C<sub>6</sub>H<sub>5</sub>SO<sub>3</sub>H; C<sub>6</sub>H<sub>5</sub>SO<sub>3</sub>Na (A II)

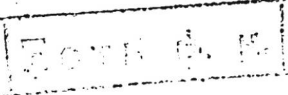
Benz Z.B., Irving R.J., Henashi J.  
Trans. Faraday Soc., 1964, 60(495),  
Pt. 1, 56-61

Calorimetric determination of the ...

H

F

CA, 1964, 60, H7, 7517d



1968

*NaHSO<sub>3</sub>**•CH<sub>2</sub>O · H<sub>2</sub>O**ΔHf*

ЗБ668. Термодинамика образования формальдегидбисульфита натрия. Буданов В. В., Кибенко В. Д., Кучин Т. И. «Изв. высш. учебн. заведений. Химия и хим. технол.», 1968, 11, № 5, 529—532

Калориметрически определены тепловые эффекты следующих процессов: а) р-рения кристаллич. одноводного формальдегидбисульфита натрия ( $\text{NaHSO}_3 \cdot \text{CH}_2\text{O} \cdot \text{H}_2\text{O}$ ):  $\Delta H = 5,21 \pm 0,04$  ккал/моль (конечное разведение 500 молей воды на моль продукта); б) разведения водн. р-ра бисульфита натрия от 8,16 до 500 молей воды на 1 моль бисульфита:  $\Delta H = +0,68 \pm 0,03$  ккал/моль; в) взаимодействия бисульфита натрия с формальдегидом, протекающего в водн. р-ре, содержащем 1 моль бисульфита на 500 молей воды:  $\Delta H = -12,84 \pm 0,08$  ккал/моль. Рассчитана теплота образования  $\text{NaHSO}_3 \cdot \text{CH}_2\text{O} \cdot \text{H}_2\text{O}$  при стандартных условиях  $\Delta H(\text{обр.}) = -336,0 \pm 0,1$  ккал/моль. Автореферат

x · 1969 · 3

Na-C-8-

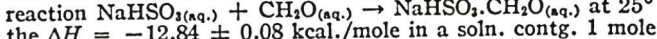
1968

NaHSO<sub>3</sub>.CH<sub>2</sub>O(aq)

70823u) Heat of formation of sodium formaldehyde bisulfite.

Rudanov, V. V.; Kibenko, V. D.; Kunin, T. I. (Ivanov. Khim.-Tekhnol. Inst., Ivanovo, USSR). Izv. Vyssh. Ucheb. Zaved.,

Khim. Tekhnol. 1968, 11(5), 529-32 (Russ). For the reaction



the  $\Delta H = -12.84 \pm 0.08$  kcal./mole in a soln. contg. 1 mole

NaHSO<sub>3</sub>/500 moles H<sub>2</sub>O, as detd. from the heat effect in a more concd. soln. and the heats of diln. of NaHSO<sub>3</sub> and of NaHSO<sub>3</sub>.

CH<sub>2</sub>O.H<sub>2</sub>O. The integral heat of soln. of NaHSO<sub>3</sub>.CH<sub>2</sub>O.H<sub>2</sub>O

is  $5.21 \pm 0.04$  kcal./mole to a diln. of 1 mole of product/500

moles of H<sub>2</sub>O. The heat absorbed in dilg. 1 mole of NaHSO<sub>3</sub>.

CH<sub>2</sub>O from 8.16 to 500 moles H<sub>2</sub>O is  $0.68 \pm 0.03$  kcal. The calcd. heat of formation of cryst. NaHSO<sub>3</sub>.CH<sub>2</sub>O.H<sub>2</sub>O at standard

conditions is  $-336.0 \pm 0.1$  kcal./mole. C. E. Stevenson

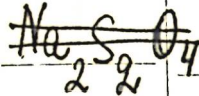
$\Delta H_f$

C.A. 1968.

69.18



1968



4 Б833. Термодинамика образования ронгалита. Буданов В. В., Кибенко В. Д., Кунин Т. И. «Изв. высш. учеб. заведений. Химия и хим. технол.», 1968, 11, № 6, 646—649

В калориметре определены: интегральные теплоты превращения (ккал/моль) безводного гидросульфита натрия  $\text{Na}_2\text{S}_2\text{O}_4$ ,  $\Delta H_{298} = +1,32 \pm 0,01$  и двухводного ронгалита  $\text{NaHSO}_2 \cdot \text{CH}_2\text{O} \cdot 2\text{H}_2\text{O}$   $\Delta H_{298} = +6,36 \pm 0,04$ , а также тепловые эффекты превращений (ккал/моль)  $\text{Na}_2\text{SO}_3\text{aq} + \text{CH}_2\text{O}_{\text{aq}} + \text{H}_2\text{O}(\text{жидк.}) = \text{NaHSO}_3 \cdot \text{CH}_2\text{O}_{\text{aq}} + \text{NaOH}_{\text{aq}}$ ,  $\Delta H_{298} = -2,57 \pm 0,03$  и  $\text{Na}_2\text{S}_2\text{O}_4\text{aq} + 2\text{CH}_2\text{O}_{\text{aq}} + \text{H}_2\text{O}(\text{жидк.}) = \text{NaHSO}_3 \cdot \text{CH}_2\text{O}_{\text{aq}} + \text{NaHSO}_2 \cdot \text{CH}_2\text{O}_{\text{aq}}$ ,  $\Delta H_{298} = -17,68 \pm 0,05$ . По полученным данным рассчитана теплота образования кристаллического двухводного ронгалита  $\Delta H_{298} = -345,4 \pm 0,1$  ккал/моль.

Автореферат

~~стаб~~~~ΔHf~~

+1

Х. 1969. 4





1968

$\text{Na}_2\text{S}_2\text{O}_4$

$\Delta H_f$

$\Delta H_f$

match.

100268m Heat of formation of rongalite. Budanov, V. V.; Kibenko, V. D.; Kunin, T. I. (Ivanov. Khim-Tekhnol. Inst., Ivanovo, USSR). Izv. Vyssh. Ucheb. Zaved., Khim. Khim. Tekhnol. 1968, 11(6), 646-9 (Russ). The  $\Delta H_{298}$  for the reaction  $\text{Na}_2\text{SO}_3(\text{aq.}) + \text{CH}_2\text{O}(\text{aq.}) + \text{H}_2\text{O}(l) = \text{NaHSO}_3 \cdot \text{CH}_2\text{O}(\text{aq.}) + \text{NaOH}(\text{aq.})$ , at  $25^\circ$ , is  $-2.57 \pm 0.03$  kcal./mole. For the reaction  $\text{Na}_2\text{S}_2\text{O}_4(\text{aq.}) + 2\text{CH}_2\text{O}(\text{aq.}) + \text{H}_2\text{O}(l) = \text{NaHSO}_2 \cdot \text{CH}_2\text{O}(\text{aq.}) + \text{NaHSO}_3 \cdot \text{CH}_2\text{O}(\text{aq.})$  it is  $-17.68 \pm 0.05$  kcal./mole. The integral heat of soln. of  $\text{Na}_2\text{S}_2\text{O}_4$  is  $1.32 \pm 0.01$  kcal./mole, and that of  $\text{NaHSO}_2 \cdot \text{CH}_2\text{O} \cdot 2\text{H}_2\text{O}$  is  $6.36 \pm 0.04$  kcal./mole, at final concns. of 500 moles  $\text{H}_2\text{O}/\text{mole}$  of the substance. From these data, the heat of formation of cryst.  $\text{NaHSO}_2 \cdot \text{CH}_2\text{O} \cdot 2\text{H}_2\text{O}$  is  $-345.4 \pm 0.1$  kcal./mole.

C. E. Stevenson

C.A. 1968.

69.24

10

$(CH_3)_2As(S)$

Na-C-coeq,

1870

6 В243. Диметилдитиоарсинат натрия — новый комплексообразователь. Förster Malte, Hertel Hegwig, Kuchen Wilhelm. Natrium-Dimethyldithioarsinat, ein neuer Komplexbildner. «Angew. Chem.», 1970, 82, № 20, 842 (нем.)

Пропусканием  $H_2S$  в течение длительного времени в кипящий р-р  $Me_2As(O)ONa$  в  $EtOH$  получены бесцв. кристаллы  $Me_2As(S)SNa \cdot 2H_2O$  (I). Т. пл. I 181—2°. I взаимодействует с ионами  $M^{n+}$  в р-ре с образованием окрашенных комплексов  $[Me_2As(S)S]_nM$ , где  $M^{n+} = Cr^{3+}$ . (II);  $Ni^{2+}$  (III);  $Co^{2+}$  (IV);  $Zn^{2+}$  (V) или  $Cd^{2+}$  (VI). II—VI нер-римы в  $H_2O$ . II и диамагнитный III р-римы в  $C_6H_6$ ,  $CCl_4$ ,  $CHCl_3$ ,  $CH_2Cl_2$ . Установлено, что

II имеет октаэдрич., III — планарное и III—VI тетраэдрич. строение. Изучены электронные спектры II. Магн. момент II и IV равен 3,90 и 4,40  $\mu_B$  соотв.

М. Б. Варфоломеев

5029

ВР

$SNa \cdot 2H_2O$

Tm

6

X · 1971

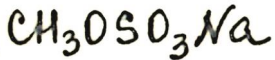
1972

$\text{NaHSO}_3 \cdot \text{CH}_2\text{O}$

(Cp)

165044r <sup>165044r</sup> thermal characteristics of Rongalite. Budanov, V. V.; Lyuskin, V. K.; Boleslavskaya, N. F. (USSR). *Tr. Ivanov. Khim.-Tekhnol. Inst.* 1972, No. 13, 57-9 (Russ). From Ref. *Zh., Khim.* 1972, Abstr. No. 24B835. Using a variable temp. calorimeter, heat capacities of anhyd. Rongalite  $\text{NaHSO}_3 \cdot \text{CH}_2\text{O}$  (I) and a dihydrate product were detd. as  $0.202 \pm 0.02$  and  $0.351 \pm 0.026$  cal/g-degree. The heat of hardening of a com. product melt contg.  $77.0 \pm 0.7\%$  I,  $3.9 \pm 1.0\%$   $\text{NaHSO}_3 \cdot \text{CH}_2\text{O}$  (II) (balance  $\text{H}_2\text{O}$ ) was  $30.42 \pm 0.73$  cal/g. The areas corresponding to the sepn. of cryst. hydrate were absent on the melt cooling curves (from  $90^\circ$ ), which indicated the tendency of the system to transfer into a supercooled state; crystn. occurred with low velocity and for this reason was obsd. over a wide temp. range. The study of the compns. with a II content of 2-10% ( $\text{H}_2\text{O}$ :I ratio 1:4, which corresponded to the compn. of a com. product) showed that the supercooling phenomenon was more noticeable with higher II impurity content. The hardening time also increased with an increase of II. Thus for successful granulation, a melt with a min. content of formaldehyde bisulfite should be used.

C. A. 1973.78-N26



1972.

144605p Heat capacity changes of some sodium alkylsulfates in aqueous solutions. Tamaki, Kunio; Isomura, Yoshio; Ohara, Yoko (Dep. Chem., Yokohama City Univ., Yokohama, Japan). *Bull. Chem. Soc. Jap.* 1972, 45(9), 2939-40 (Eng). At 10-45°, the av. values of the changes in the heat capacity [obtained from the exptl. detd. heats of soln.] for the dissoln. of  $\text{ROSO}_3\text{Na}$  in water at infinite diln. were:  $\Delta C_p^\circ = -17, 0, +11, +21, +38$ , and  $+54 \text{ cal/degree mole}$  for  $\text{R} = \text{Me, Et, Pr, Bu, pentyl, and hexyl, resp.}$  Thus, the salts with  $\text{R} = \text{Pr, Bu, pentyl, and hexyl}$  have structure-making effect on water increasing with increasing alkyl chain length, owing to the predominance of the effect of hydrophobic hydration of the R group over the structure-breaking effect of ionic hydration of the whole anion. For  $\text{R} = \text{Et}$ , the effects cancel each other, whereas for  $\text{R} = \text{Me}$ , there is a structure-breaking effect.

( $C_p$ )

C. A. 1972. 77. N22.

N2-C-S

Biochemistry 3127

1973

Na- $\beta$ -guanidinoethyl ester

1)

MacCollum N. K. et al.

(ΔH)

Biochem., 1973,

135

231-36

2) S. Tippins,  
H.

MacCollum N. K.

Environ. Sci. Technol., J. Chem. Soc., 1974,  
40, 1308

$\text{CH}_3\text{OSO}_3\text{Na}$  Lommel 7200) 1978

faburceus Treiner C, et al.  
et - hap

16f J. chem. Thermodyn.  
1978, 10, 1011-1017

$\text{CH}_3\text{OSO}_3\text{Na}$

1982

Bury R., Treiner C.

1 soln H;  
J. Chem. Soc., Faraday  
Trans. 1. 1982, 78(6),  
1827 - 33.

(c.c.  $(\text{CH}_3)_4\text{NBZ}_2$ ; ?)

*NaCN8*

1982

20 Б884. Определение стандартных термодинамических характеристик роданида натрия в бутиловом спирте и его смеси с водой. Ионин М. В., Молова Т. И., Шанина П. И. «Термодинам. и строение растворов». Иваново, 1982, 93—95

Методом э. д. с. цепи без переноса измерены термодинамич. функции роданида натрия в бутиловом спирте и его смеси, содержащей 20% воды, при 15—55° С. На основе полученных данных определены станд. свободные энергии, энтропии и энталпии образования ионов роданида натрия в исследованных р-рах, равные соотв. для р-ра в бутиловом спирте и в его смеси с водой  $-1,453 \cdot 10^2$  и  $1,512 \cdot 10^2$  кДж/моль;  $-212$  Дж/моль·град;  $-208,5$  и  $-214,4$  кДж/моль.

А. М.

X. 1983, 19, N 20

[Om. 17809]

1983

$\text{CH}_3\text{SO}_3\text{Na}$

$\text{C}_6\text{H}_5\text{SO}_3\text{Na}$

$\text{C}_3\text{H}_7\text{SO}_3\text{Na}$

$\text{C}_4\text{H}_9\text{SO}_3\text{Na}$

(K)

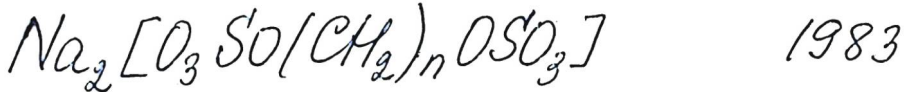
(solv)

Tanaka K., Ohara Y.,  
et al.,

Bull. Chem. Soc.

Jpn., 1983, 56, N7,

1980 - 1984



1983

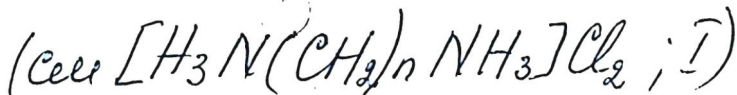
 $n = 2-6, 8, 10.$ 

Tamaki Kuriro,  
Irie Kaoru.

Bull. Chem. Soc. Jpn.

In soln H;

1983, 56(9), 2831-2.



1989

Система

$\text{Na}_2\text{SO}_4 - \text{Na}_2\text{CO}_3$

З Е607. Структурные превращения и фазовая стабилизация в системе  $\text{Na}_2\text{SO}_4 - \text{Na}_2\text{CO}_3$ . Structural transformations and phase stabilization in  $\text{Na}_2\text{SO}_4 - \text{Na}_2\text{CO}_3$  system / Mehrotra Bhoopendra Narain // Phase Transit. В.— 1989.— 16—17.— С. 431—436.— Англ. Место хранения ГПНТБ СССР

Исследовано фазовое поведение квазибинарной системы  $\text{Na}_2\text{SO}_4 - \text{Na}_2\text{CO}_3$  в диапазоне т-р от комнатной до т-ры ликвидуса. При низких т-рах система характеризуется неполной смешиваемостью и образованием соединения (буркента). При высоких т-рах имеет место полная смешиваемость и система кристаллизуется в гексаг. сингонии со структурой пр. гр.  $P6_3/mmc$ . Эта высокотемпературная фаза получается закалкой из расплава до комн. т-ры; она метастабильна. Богатые  $\text{Na}_2\text{CO}_3$  растворы имеют сателлитные рентгенодифракционные рефлексы, исчезающие при нагреве. Термообработка монокристаллов промежуточной фазы  $\text{Na}_2\text{SO}_4$  со структурой *Стст* приводит к топотаксич. переходу в высокотемпературную фазу.

А. И. Коломийцев

оф. 1990, № 3